

第五章：线性时不变系统的变换分析

- ◆ 5.1 LTI系统的频率响应
- ◆ 5.2 用线性常系数差分方程表征系统的系统函数
- ◆ 5.3 有理系统函数的频率响应
- ◆ 5.4 幅度和相位之间的关系
- ◆ 5.5 全通系统
- ◆ 5.6 最小相位系统
- ◆ 5.7 广义线性相位的线性系统

第五章：线性时不变系统的变换分析

◆ 5.1 LTI系统的频率响应

◆ 5.2 用线性常系数差分方程表征系统的系统函数

◆ 5.3 有理系统函数的频率响应

◆ 5.4 幅度和相位之间的关系

◆ 5.5 全通系统

◆ 5.6 最小相位系统

◆ 5.7 广义线性相位的线性系统

5.0 引言

一个LTI系统由单位脉冲响应 $h[n]$ 表征，给定输入 $x[n]$ ，其输出 $y[n]$ 的时域、频域、z变换域表示为

$$y[n] = x[n] * h[n] = \sum_{k=-\infty}^{\infty} x[n]h[n-k]$$

$$Y(e^{j\omega}) = X(e^{j\omega})H(e^{j\omega})$$

$$Y(z) = X(z)H(z)$$

其中

$$H(e^{j\omega}) = \sum_{n=-\infty}^{\infty} h[n]e^{-j\omega n}$$

系统频率响应

$$H(z) = \sum_{n=-\infty}^{\infty} h[n]z^{-n}$$

系统(传递)函数

当复变量 z 代以复变量 $e^{j\omega}$ ，则z变换退化为傅里叶变换

傅里叶变换是在一个线性频率轴（z平面的单位圆）上对信号分解

z变换是更为广泛信号的傅里叶变换的推广形式。

5.1 LTI系统的频率响应

一个频率响应为 $H(e^{j\omega})$ 的LTI系统输入和输出的傅里叶变换关系为

$$Y(e^{j\omega}) = H(e^{j\omega})X(e^{j\omega})$$

系统的**输入与输出**的幅度和相位存在如下关系

$$|Y(e^{j\omega})| = |H(e^{j\omega})| \cdot |X(e^{j\omega})|$$

$$\angle Y(e^{j\omega}) = \angle H(e^{j\omega}) + \angle X(e^{j\omega})$$

其中, $|H(e^{j\omega})|$ 为系统的**幅度响应**或**增益**

$\angle H(e^{j\omega})$ 为系统的**相位响应**或**相移**

若系统的**幅度/相位响应**导致信号以**不期望的方式**变化, 则该情况下系统对信号的影响称为**幅度/相位失真**。

5.1.1 理想频率选择性滤波器

系统**幅度响应** $|H(e^{j\omega})|$ 体现了系统对输入的频率分量抑制特性，系统对不同频率分量的抑制特性即为**频率选择性**。

理想**低通滤波器**的**频率响应**和**单位脉冲响应**为

$$H_{LP}(e^{j\omega}) = \begin{cases} 1, & |\omega| < \omega_c \\ 0, & \omega_c < |\omega| \leq \pi \end{cases} \quad \text{和} \quad h_{LP}[n] = \frac{\sin \omega_c n}{\pi n}, \quad -\infty < n < \infty$$

抑制高频分量！

理想**高通滤波器**的**频率响应**和**单位脉冲响应**为

$$H_{HP}(e^{j\omega}) = \begin{cases} 0, & |\omega| < \omega_c \\ 1, & \omega_c < |\omega| \leq \pi \end{cases} \quad \text{和} \quad h_{HP}[n] = \delta[n] - \frac{\sin \omega_c n}{\pi n}, \quad -\infty < n < \infty$$

抑制低频分量！

5.1.2 相位失真及延时

◆ 线性相位系统的相位响应特性

具有线性相位的理想低通滤波器的单位脉冲响应和频率响应分别为

$$h_{LP}[n] = \frac{\sin \omega_c (n - n_d)}{\pi (n - n_d)}, \quad -\infty < n < \infty$$

和

$$H_{LP}(e^{j\omega}) = \begin{cases} e^{-j\omega n_d}, & |\omega| < \omega_c \\ 0, & \omega_c < |\omega| \leq \pi \end{cases}$$

对于线性相位系统，单位脉冲响应的时移 (n_d) 导致频率响应中的相位响应随频率 ω 线性变化。

5.1.2 相位失真及延时

◆ 系统对窄带信号的相位响应特性

例：频响为 $H(e^{j\omega})$ 的系统对窄带信号 $x[n] = s[n]\cos(\omega_0 n)$ 的输出

假设 $X(e^{j\omega})$ 仅在 $\omega = \omega_0$ 附近为非零，则系统在 $\omega = \omega_0$ 窄带范围内对信号相位的影响（系统相位响应）可近似表示为

$$\angle H(e^{j\omega}) \approx -\phi_0 - \omega n_d$$

群时延为 n_d

对于窄带信号，该系统近似为线性相位系统！

群延迟表征系统相位非线性程度或对不同频率分量的相位影响

频谱(能量) 集中在 $\omega = \omega_0$ 附近的窄带信号 $x[n]$ 的包络 $s[n]$ 的群延迟由系统相位响应 $\angle H(e^{j\omega})$ 在 $\omega = \omega_0$ 处的斜率的负值给出。

可以证明，系统对 $x[n]$ 的响应可近似为

$$y[n] \approx \left| H(e^{j\omega_0}) \right| s[n - n_d] \cos(\omega_0(n - n_d) - \phi_0)$$

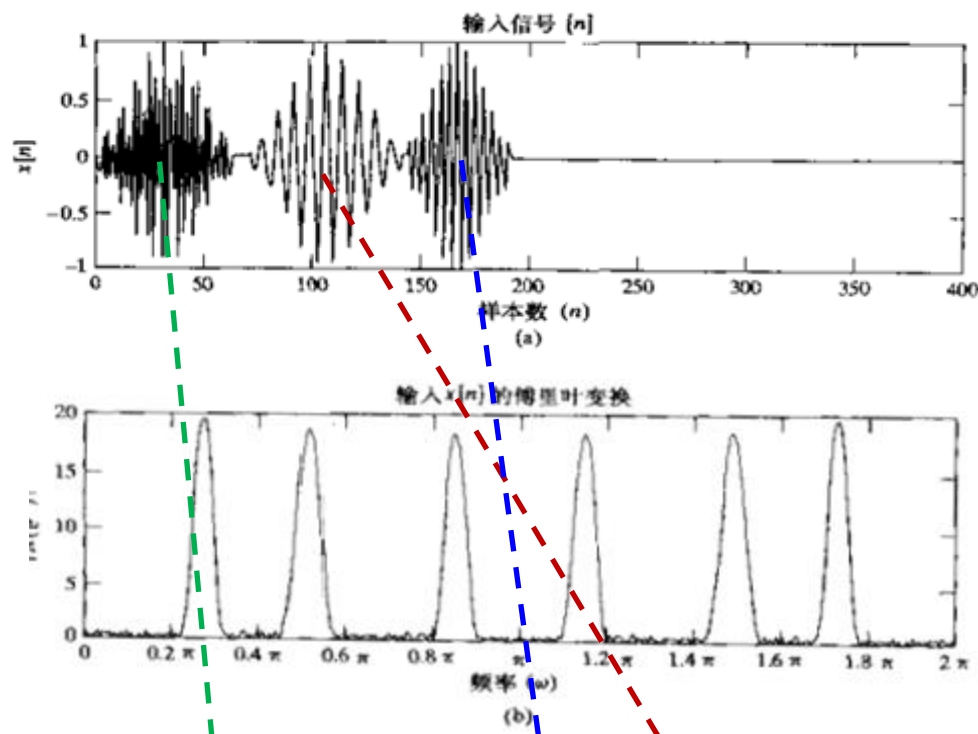
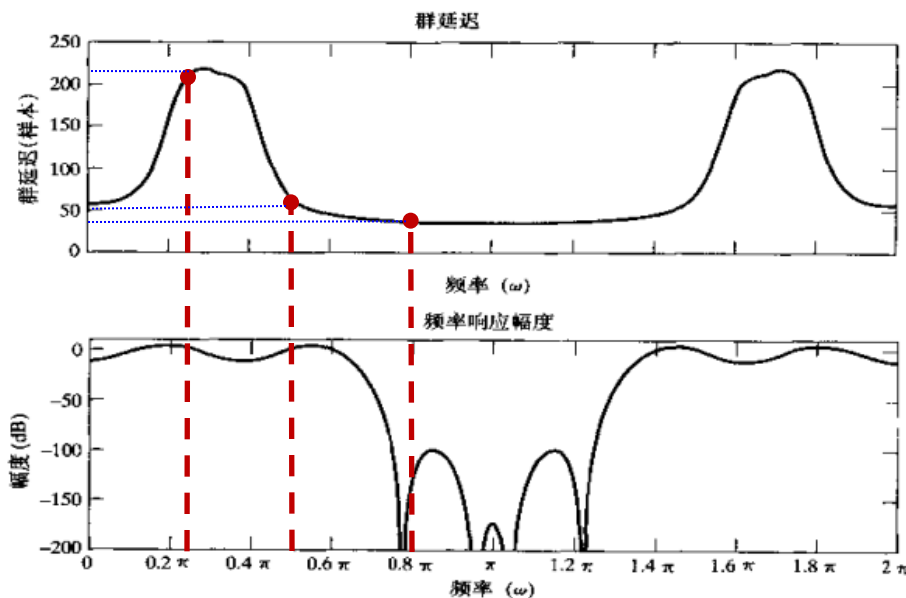
5.1.2 相位失真及延时

例5.1 衰减和群时延影响

假设：输入信号由三个顺序出现的窄带脉冲组成，频率分别为：

$$\omega = 0.85\pi, \omega = 0.25\pi \text{ 和 } \omega = 0.5\pi。$$

系统群时延与频响



第五章：连续时不变系统的变换分析

- ◆ 5.1 LTI系统的频率响应
- ◆ 5.2 用线性常系数差分方程表征系统的系统函数
- ◆ 5.3 有理系统函数的频率响应
- ◆ 5.4 幅度和相位之间的关系
- ◆ 5.5 全通系统
- ◆ 5.6 最小相位系统
- ◆ 5.7 广义线性相位的线性系统

5.2 用线性常系数差分方程表征系统的系统函数

系统的输入 $x[n]$ 和输出 $y[n]$ 满足线性常系数差分方程

$$\sum_{k=0}^N a_k y[n-k] = \sum_{m=0}^M b_m x[n-m]$$

等式两边进行z变换

$$\left(\sum_{k=0}^N a_k z^{-k} \right) Y(z) = \left(\sum_{k=0}^M b_k z^{-k} \right) X(z)$$

系统函数表示为

$$H(z) = \frac{Y(z)}{X(z)} = \frac{\sum_{k=0}^M b_k z^{-k}}{\sum_{k=0}^N a_k z^{-k}} = \left(\frac{b_0}{a_0} \right) \frac{\prod_{k=1}^M (1 - c_k z^{-1})}{\prod_{k=1}^N (1 - d_k z^{-1})}$$

差分方程与系统函数存在关系：

差分方程左边/右边多项式系数与系统函数分母/分子系数相同



5.2.1 稳定性和因果性

◆ 系统的稳定性

对于稳定系统，其单位脉冲响应必须绝对可加，即

$$\sum_{n=-\infty}^{\infty} |h[n]| < \infty$$

当 $|z|=1$ 时，根据稳定系统条件，可得

$$\sum_{n=-\infty}^{\infty} |h[n] z^{-n}|$$

z变换收敛条件

即z变换域系统稳定性条件等效为 $H(z)$ 的ROC包括单位圆。

◆ 系统的因果性

对于因果系统，其单位脉冲响应 $h[n]$ 必须是一个右边序列。

由z变换ROC性质5， $H(z)$ 的ROC应位于最外面极点的外面。

5.2.2 逆系统

对于一个系统函数为 $H(z)$ 的LTI系统，其逆系统的系统函数 $H_i(z)$ 与 $H(z)$ 满足条件

$$G(z) = H(z)H_i(z) = 1$$

等效时域和频域条件为

$$g[n] = h[n] * h_i[n] = \delta[n]$$

$$H(e^{j\omega})H_i(e^{j\omega}) = 1$$

对于具有如下有理系统函数的系统

$$H(z) = \left(\frac{b_0}{a_0} \right) \prod_{k=1}^M (1 - c_k z^{-1}) / \prod_{k=1}^N (1 - d_k z^{-1})$$

其逆系统的系统函数可表示为

$$H_i(z) = \left(\frac{a_0}{b_0} \right) \prod_{k=1}^N (1 - d_k z^{-1}) / \prod_{k=1}^M (1 - c_k z^{-1})$$

1) $H_i(z)$ 的极点即为 $H(z)$ 的零点;

5.2.2 逆系统

例5.5: 在ROC内有一个零点的系统的逆系统

设系统函数为 $H(z) = \frac{z^{-1} - 0.5}{1 - 0.9z^{-1}}, \quad |z| > 0.9$

逆系统函数为 $H_i(z) = \frac{1 - 0.9z^{-1}}{z^{-1} - 0.5} = \frac{-2 + 1.8z^{-1}}{1 - 2z^{-1}}$

该逆系统函数的单极点为 $z = 2$, 从而有2种可能的收敛域:
 $|z| > 2$ 和 $|z| < 2$, 均与 $H(z)$ 的收敛域 $|z| > 0.9$ 重叠。

因此, 两种收敛域对应的 $H_i(z)$ 均为 $H(z)$ 的有效逆系统。

对应ROC $|z| > 2$ 的逆系统单位脉冲响应为

$$h_{i1}[n] = -2(2)^n u[n] + 1.8(2)^{n-1} u[n-1]$$

对应ROC $|z| < 2$ 的逆系统单位脉冲响应为

$$h_{i2}[n] = 2(2)^n u[-n-1] - 1.8(2)^{n-1} u[-n]$$

$a^n u[n]$	$\frac{1}{1 - az^{-1}}$	$ z > a $
$-a^n u[-n-1]$	$\frac{1}{1 - az^{-1}}$	$ z < a $

ROC为最外极点外、
不含单位圆,
因果、非稳定

ROC为最外极点内、
含单位圆,
稳定、非因果

5.2.2 逆系统

◆最小相位系统

- 如果 $H(z)$ 是零点位于 c_k , $k=1, \dots, M$, 的一个因果系统, 那么当且仅当其逆系统 $H_i(z)$ 的收敛域为

$$|z| > \max_k |c_k|$$

时, 其逆系统 (一定) 是因果的。

- 如果要求逆系统是稳定的, 那么 $H_i(z)$ 的收敛域必须包括单位圆, 即必须

$$\max_k |c_k| < 1$$

- 当且仅当 $H(z)$ 的零点和极点都在单位圆内时, 稳定因果的LTI系统也有一个稳定因果的逆系统。

零点和极点都在单位圆内的系统为最小相位系统。

5.2.3 有理系统函数的单位脉冲响应

有理系统函数的一般表示式为

$$H(z) = \left(\frac{b_0}{a_0} \right) \prod_{k=1}^M (1 - c_k z^{-1}) / \prod_{k=1}^N (1 - d_k z^{-1})$$

任何具有一阶极点的以 z^{-1} 为变量的有理函数都可以表示成

$$H(z) = \sum_{r=0}^{M-N} B_r z^{-r} + \sum_{k=1}^N A_k / (1 - d_k z^{-1})$$

若系统是因果的，系统单位脉冲响应可表示为

$$h[n] = \sum_{r=0}^{M-N} B_r \delta[n-r] + \sum_{k=1}^N A_k d_k^n u[n]$$

若 $H(z)$ 至少有1个非零极点，则 $h[n]$ 至少有1项有 $A_k d_k^n u[n]$ 形式，则 $h[n]$ 为无限长响应，该类系统为无限脉冲响应（IIR）系统。

若 $H(z)$ 除 $z=0$ 外，没有任何极点，则 $h[n]$ 仅有 $B_r \delta[n-r]$ 形式，则 $h[n]$ 为有限长响应，该类系统为有限脉冲响应（FIR）系统。

第五章：连续时不变系统的变换分析

- ◆ 5.1 LTI系统的频率响应
- ◆ 5.2 用线性常系数差分方程表征系统的系统函数
- ◆ 5.3 有理系统函数的频率响应
- ◆ 5.4 幅度和相位之间的关系
- ◆ 5.5 全通系统
- ◆ 5.6 最小相位系统
- ◆ 5.7 广义线性相位的线性系统

5.3 有理系统函数的频率响应

对于具有有理系统函数的**稳定LTI**系统，且其**频率响应**具有如下形式：

$$H(e^{j\omega}) = \sum_{k=0}^M b_k e^{-j\omega k} / \sum_{k=0}^N a_k e^{-j\omega k}$$

◆用**零极点（因式）**形式表示的系统**频率响应**

$$H(e^{j\omega}) = \left(\frac{b_0}{a_0} \right) \prod_{k=1}^M (1 - c_k e^{-j\omega}) / \prod_{k=1}^N (1 - d_k e^{-j\omega})$$

◆系统的**幅度响应**

$$|H(e^{j\omega})| = \left| \frac{b_0}{a_0} \right| \prod_{k=1}^M |1 - c_k e^{-j\omega}| / \prod_{k=1}^N |1 - d_k e^{-j\omega}|$$

• **对数幅度响应（系统增益）**为

$$20 \log_{10} |H(e^{j\omega})| = 20 \log_{10} \left| \frac{b_0}{a_0} \right| + \sum_{k=1}^M 20 \log_{10} |1 - c_k e^{-j\omega}| - \sum_{k=1}^N 20 \log_{10} |1 - d_k e^{-j\omega}|$$

◆ **系统输入与输出之间的对数幅度**关系可表示为

$$20 \log_{10} |Y(e^{j\omega})| = 20 \log_{10} |H(e^{j\omega})| + 20 \log_{10} |X(e^{j\omega})|$$

5.3 有理系统函数的频率响应

- 任何复数的相位不是唯一的，基于反正切获得的 $H(e^{j\omega})$ 的相位称为主值相位，为

$$\text{ARG}[H(e^{j\omega})] = \arctan[H_I(e^{j\omega})/H_R(e^{j\omega})]$$
$$-\pi < \text{ARG}[H(e^{j\omega})] \leq \pi$$

- 函数 $H(e^{j\omega})$ 的任意相角可用主值相位偏移表示

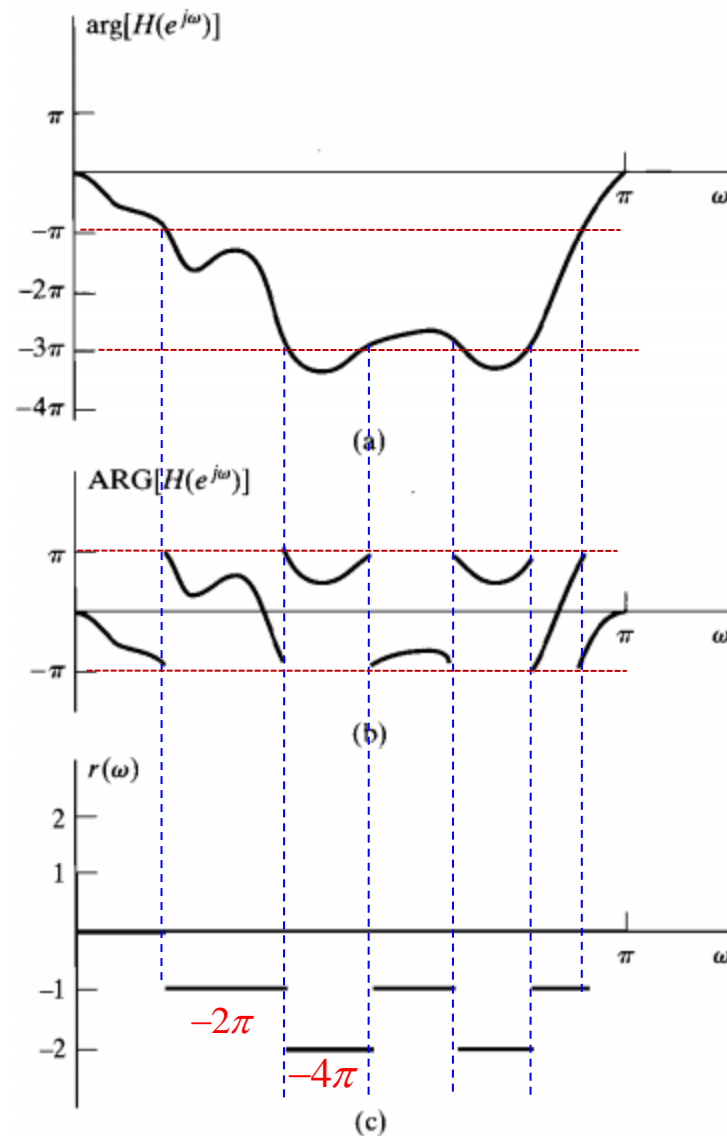
$$\angle H(e^{j\omega}) = \text{ARG}[H(e^{j\omega})] + 2\pi r(\omega)$$

其中 $r(\omega)$ 为 ω 的函数，取值为正/负整数

- 群时延定义为

$$\tau(\omega) = \text{grd}[H(e^{j\omega})] = -\frac{d}{d\omega} \left\{ \arg[H(e^{j\omega})] \right\}$$

其中 $\arg[H(e^{j\omega})]$ 称为 $H(e^{j\omega})$ 的连续相位，可由主值相位增/减整数倍 2π 获得。



5.3 有理系统函数的频率响应

◆ 有理系统函数的相位响应

$$\angle [H(e^{j\omega})] = \angle \left[\frac{b_0}{a_0} \right] + \sum_{k=1}^M \angle [1 - c_k e^{-j\omega}] - \sum_{k=1}^N \angle [1 - d_k e^{-j\omega}]$$

- 有理系统函数的主值相位

$$\text{ARG} [H(e^{j\omega})] = \text{ARG} \left[\frac{b_0}{a_0} \right] + \sum_{k=1}^M \text{ARG} [1 - c_k e^{-j\omega}] - \sum_{k=1}^N \text{ARG} [1 - d_k e^{-j\omega}]$$

◆ 有理系统函数的群时延

$$\text{grd} [H(e^{j\omega})] = - \left\{ \sum_{k=1}^M \frac{d}{d\omega} (\arg [1 - c_k e^{-j\omega}]) - \sum_{k=1}^N \frac{d}{d\omega} (\arg [1 - d_k e^{-j\omega}]) \right\}$$

5.3.1 单个零点或极点的频率响应

◆ 单一因式 $(1 - re^{j\theta}e^{-j\omega})$ 的频率响应

因式中 r 和 θ 分别为零/极点的幅值和相角

该因式的幅度平方为

$$\begin{aligned} |1 - re^{j\theta}e^{-j\omega}|^2 &= (1 - re^{j\theta}e^{-j\omega})(1 - re^{-j\theta}e^{j\omega}) \\ &= 1 + r^2 - 2r \cos(\omega - \theta) \end{aligned}$$

该因式（分子/分母）的对数幅度为

$$\begin{aligned} \pm 20 \log_{10} |1 - re^{j\theta}e^{-j\omega}| \\ = \pm 10 \log_{10} [1 + r^2 - 2r \cos(\omega - \theta)] \end{aligned}$$

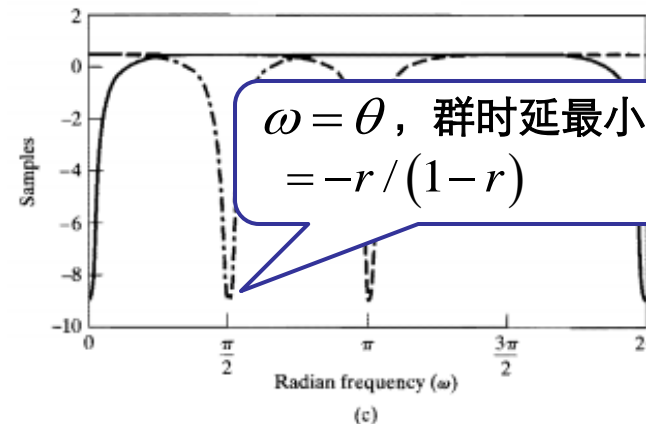
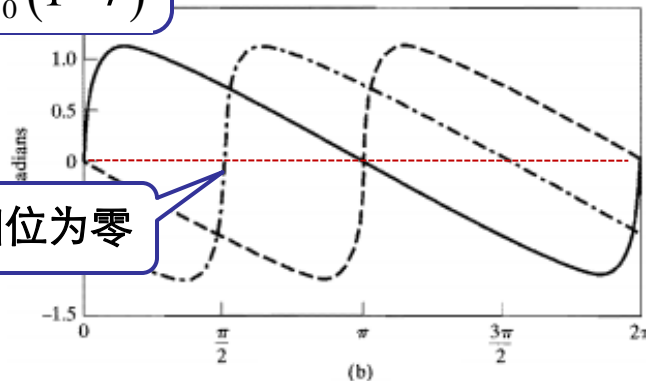
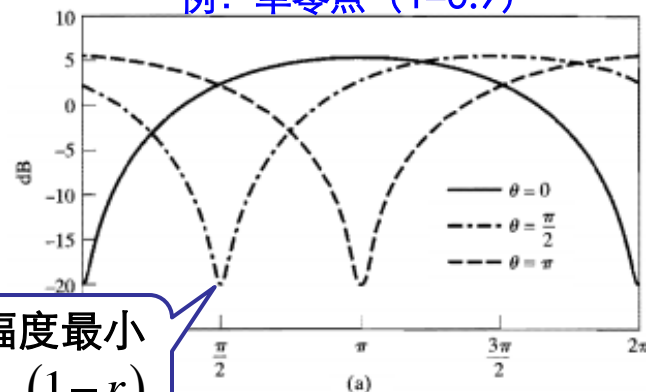
该因式的主值相位为

$$\pm \text{ARG} [1 - re^{j\theta}e^{-j\omega}] = \pm \arctan \left[\frac{r \sin(\omega - \theta)}{1 - r \cos(\omega - \theta)} \right]$$

该因式的群时延为

$$\pm \text{grd} [1 - re^{j\theta}e^{-j\omega}] = \pm \frac{r^2 - r \cos(\omega - \theta)}{1 + r^2 - 2r \cos(\omega - \theta)}$$

例：单零点 ($r=0.9$)



5.3.1 单个零点或极点的频率响应

◆单零点频率响应的几何图形表示

- 设一阶系统函数

$$H(z) = (1 - re^{j\theta} z^{-1}) = (z - re^{j\theta}) / z, \quad r < 1$$

因式有极点 $z=0$ 和零点 $z=re^{j\theta}$ 。

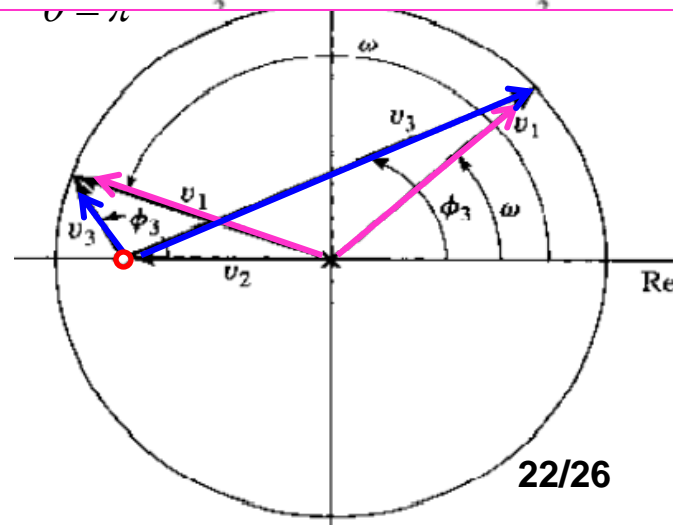
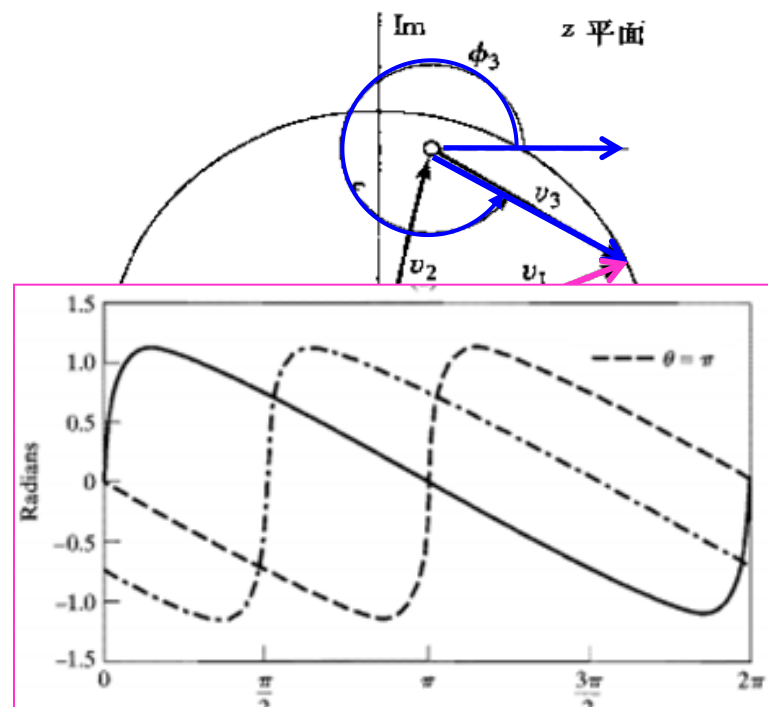
复数 $e^{j\omega}$, $re^{j\theta}$ 和 $(e^{j\omega} - re^{j\theta})$ 分别用向量 v_1 , v_2 和 $v_3 = v_1 - v_2$ 表示。

- 单零点系统幅度响应为

$$\left| 1 - re^{j\theta} e^{-j\omega} \right| = \left| \frac{e^{j\omega} - re^{j\theta}}{e^{j\omega}} \right| = \frac{|v_3|}{|v_1|}$$

- 单零点系统相位响应为

$$\begin{aligned} \angle(1 - re^{j\theta} e^{-j\omega}) &= \angle(e^{j\omega} - re^{j\theta}) - \angle(e^{j\omega}) \\ &= \angle(v_3) - \angle(v_1) \\ &= \phi_3 - \phi_1 = \phi_3 - \omega \end{aligned}$$



5.3.2 多个零点或极点的频率响应

◆二阶IR系统的频率响应

- 设两阶系统函数为

$$H(z) = \frac{1}{(1 - re^{j\theta} z^{-1})(1 - re^{-j\theta} z^{-1})} = \frac{1}{1 - 2r \cos \theta z^{-1} + r^2 z^{-2}}$$

系统函数有一对极点, $z = re^{j\theta}$ 及其共轭 $z = re^{-j\theta}$; 在 $z = 0$ 有两阶零点。

由z变换可得系统单位脉冲响应为

$$h[n] = \left\{ r^n \sin[\theta(\pi + 1)] / \sin \theta \right\} u[n]$$

系统对数幅度响应为

$$20 \log_{10} |H(e^{j\omega})| = -10 \log_{10} [1 + r^2 - 2r \cos(\omega - \theta)] - 10 \log_{10} [1 + r^2 - 2r \cos(\omega + \theta)]$$

系统相位响应为

$$\angle H(e^{j\omega}) = -\arctan \left[\frac{r \sin(\omega - \theta)}{1 - r \cos(\omega - \theta)} \right] - \arctan \left[\frac{r \sin(\omega + \theta)}{1 - r \cos(\omega + \theta)} \right]$$

系统群时延为

$$\text{grd}[H(e^{j\omega})] = -\frac{r^2 - r \cos(\omega - \theta)}{1 + r^2 - 2r \cos(\omega - \theta)} - \frac{r^2 - r \cos(\omega + \theta)}{1 + r^2 - 2r \cos(\omega + \theta)}$$



5.3.2 多个零点或极点的频率响应

◆例：二阶IIR系统频率

系统函数为 $H(z) = \frac{1-r^2}{1-r e^{j\omega} + r^2 e^{j2\omega}}$

其中 $r=0.9$, $\theta=\pi/4$

对数幅度
响应 $-10\log_{10}[1+r^2-2r\cos(\omega-\theta)]$
 $10\log_{10}[1+r^2-2r\cos(\omega-\theta)]$

相位响应 $\angle H(e^{j\omega}) = -\arctan \frac{r \sin(\omega-\theta)}{1-r \cos(\omega-\theta)}$

群时延

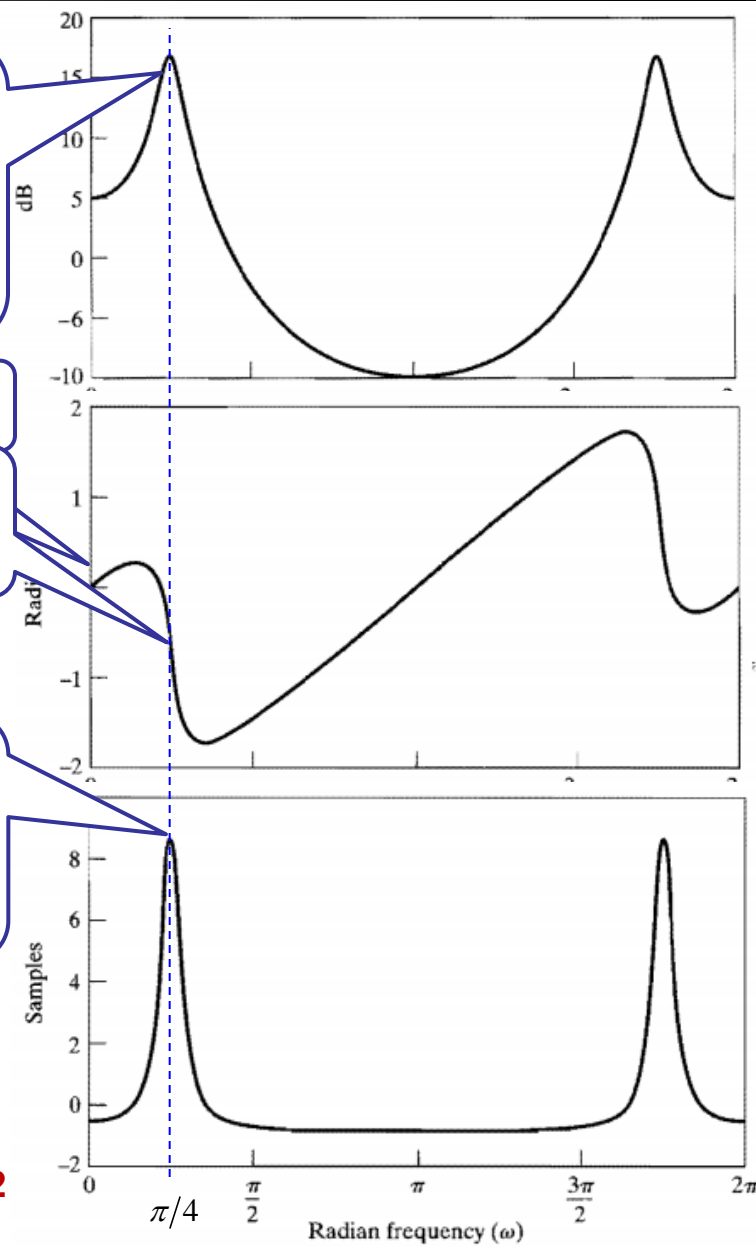
$$\text{grd}[H(e^{j\omega})] = -\frac{r^2 - r \cos(\omega - \pi/4)}{1 + r^2 - 2r \cos(\omega - \pi/4)} - \frac{r^2 - r \cos(\omega + \pi/4)}{1 + r^2 - 2r \cos(\omega + \pi/4)}$$

$\omega = \pi/4$ 幅度最大
 $= -20\log_{10}(1-r)$
 $-10\log_{10}(1+r^2)$
 ≈ 17.4

$\omega = 0$, 相位为零

$\omega = \pi/4$, 相位为
 $= -\arctan(r) \approx -0.73$

$\omega = \pi/4$, 群时延最大
 $= r/(1-r) - r^2/(1+r^2)$
 ≈ 8.55



5.3.2 多个零点或极点的频率响应

◆ 两极点频率响应的几何图形表示

复数 $(e^{j\omega} - re^{j\theta})$, $(e^{j\omega} - re^{-j\theta})$ 和 $e^{j\omega}$ 分别用向量 v_1 , v_2 和 v_3 表示。

- 两极点系统幅度响应为

$$\begin{aligned} & |1 - re^{j\theta}e^{-j\omega}|^{-1} \cdot |1 - re^{-j\theta}e^{-j\omega}|^{-1} \\ &= \left| \frac{e^{j\omega}}{e^{j\omega} - re^{j\theta}} \right| \cdot \left| \frac{e^{j\omega}}{e^{j\omega} - re^{-j\theta}} \right| = \frac{|v_3|}{|v_1|} \cdot \frac{|v_3|}{|v_2|} \\ &= 1/(|v_1||v_2|) \end{aligned}$$

- 两极点系统相位响应为

$$\begin{aligned} & \angle \left\{ (1 - re^{j\theta}e^{-j\omega})^{-1} (1 - re^{-j\theta}e^{-j\omega})^{-1} \right\} \\ &= \angle(e^{j\omega}) - \angle(e^{j\omega} - re^{j\theta}) + \angle(e^{j\omega}) - \angle(e^{j\omega} - re^{-j\theta}) \\ &= 2\angle(v_3) - \angle(v_1) - \angle(v_2) \\ &= 2\omega - \phi_1 - \phi_2 \end{aligned}$$

